

ПЛАСТИНА, УСТОЙЧИВАЯ К СДВИГОВЫМ НАГРУЗКАМ

УНИВЕРСАЛЬНОСТЬ

Может использоваться для непрерывного соединения с основанием как стен из CLT, так и из light timber frame.

ИННОВАЦИОННАЯ

Разработана для крепления гвоздями или шурупами, частичными или полными швами. Возможность установки даже на строительный раствор.

РАССЧИТАНА И СЕРТИФИЦИРОВАНА

Маркировка CE в соответствии с EN 14545. Имеется в двух вариантах. TCP300 с увеличенной толщиной, оптимизированной под CLT.



КЛАСС ЭКСПЛУАТАЦИИ

SC1 SC2

МАТЕРИАЛ

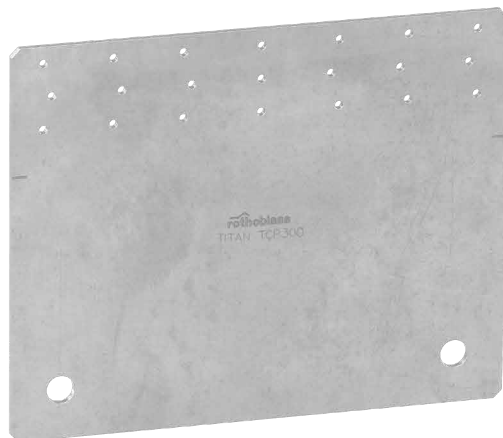
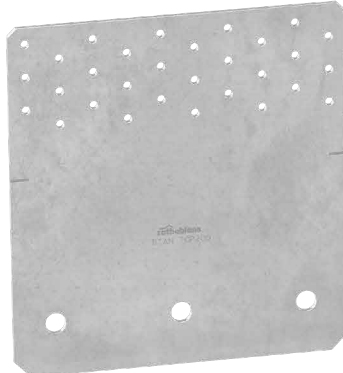
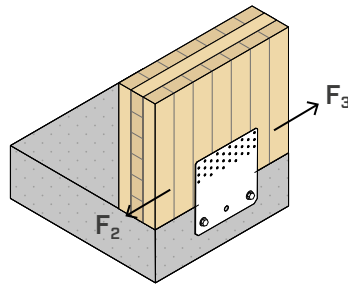
DX51D
Z275

TCP200: углеродистая сталь DX51D + Z275

S355
Fe/Zn12c

TCP300: углеродистая сталь S355 + Fe/Zn12c

НАГРУЗКИ



СФЕРЫ ПРИМЕНЕНИЯ

Соединения для деревянных стен, обеспечивающие прочность на сдвиг. Конфигурации «дерево-бетон» и «дерево-сталь». Подходит для стен, выровненных по краю бетона.

Поверхности применения:

- древесный массив или клееная древесина
- каркасные стены (timber frame)
- панели CLT и LVL



НАДСТРОЙКИ

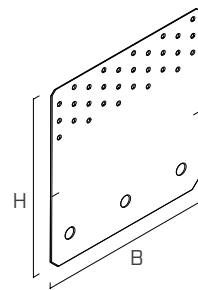
Подходит для реализации плоских соединений элементов из бетона или кирпича и панелей CLT. Выполнение непрерывных сдвиговых соединений.

ГИБРИДНЫЕ СТРУКТУРЫ

В гибридных древесно-стальных конструкциях может использоваться для соединений, обеспечивающих прочность на сдвиг, путем простого совмещения края дерева с краем стального элемента.

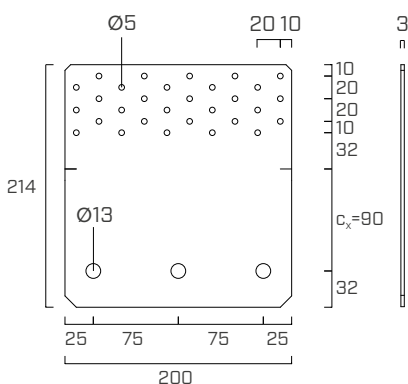
АРТИКУЛЫ И РАЗМЕРЫ

| АРТ. № | B | H | отверстия | n _v Ø5 | s | | шт. |
|--------|------|------|-----------|-------------------|------|---|-----|
| | [мм] | [мм] | | [шт.] | [мм] | | |
| TCP200 | 200 | 214 | Ø13 | 30 | 3 | ● | 10 |
| TCP300 | 300 | 240 | Ø17 | 21 | 4 | ● | 5 |

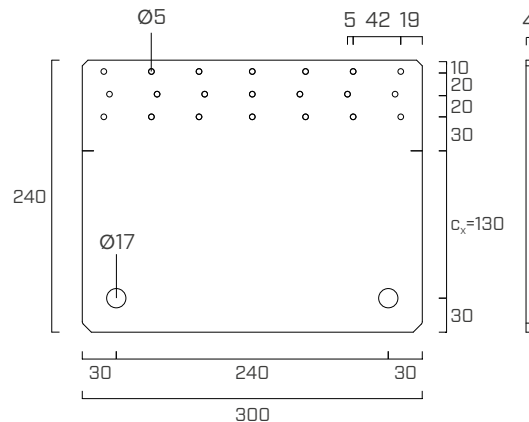


ГЕОМЕТРИЯ

TCP200



TCP300



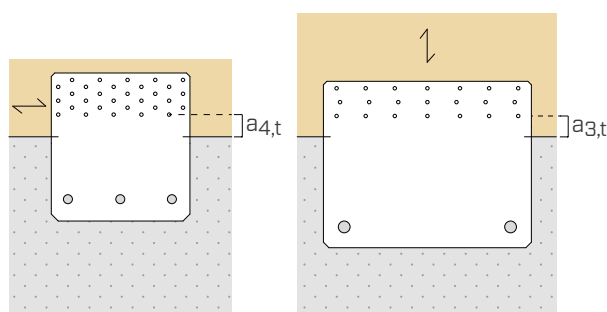
КРЕПЕЖ

| тип | описание | d [мм] | основание | стр. |
|---------|---|-----------|-----------|------|
| LBA | гвозди ершёные | 4 | | 570 |
| LBS | шуруп с круглой головкой | 5 | | 571 |
| LBS EVO | шуруп C4 EVO с круглой головкой | 5 | | 571 |
| SKR | вкручиваемый анкерный болт | 12 - 16 | | 528 |
| VIN-FIX | химический анкер на основе винилэфира | M12 - M16 | | 545 |
| HYB-FIX | гибридный химический анкер | M12 - M16 | | 552 |
| EPO-FIX | химический анкер на основе эпоксидной смолы | M12 - M16 | | 557 |

УСТАНОВКА

| ДЕРЕВО минимальные расстояния | | гвозди LBA Ø4 | шурупы LBS Ø5 |
|----------------------------------|-----------------------|------------------|------------------|
| C/GL | a _{4,t} [мм] | ≥ 20 | ≥ 25 |
| CLT | a _{3,t} [мм] | ≥ 28 | ≥ 30 |

- C/GL: минимальные расстояния для массива дерева или клееной древесины согласно стандарту EN 1995:2014 в соответствии с ETA, учитывая объемную массу деревянных элементов $\rho_d \leq 420 \text{ кг}/\text{м}^3$
- CLT: минимальные расстояния для клееной многослойной древесины с продольно-поперечной ориентацией слоев согласно ÖNORM EN 1995:2014 - Annex K для гвоздей и согласно ETA-11/0030 для шурупов

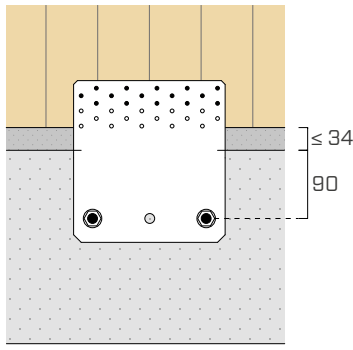


СХЕМЫ КРЕПЛЕНИЯ

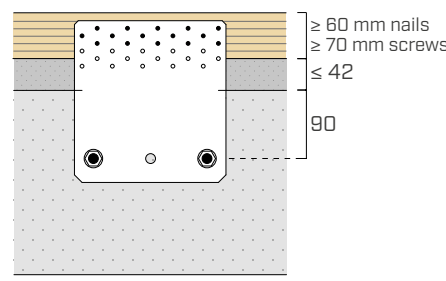
ЧАСТИЧНОЕ КРЕПЛЕНИЕ

Если согласно проекту требуются нагрузки иной величины или наличие выравнивающего слоя между стеной и опорной поверхностью, можно воспользоваться **частичными гвоздевыми швами**, предварительно рассчитав их, либо по необходимости установить пластины (например, низкие пластины), соблюдая минимальные расстояния, указанные в таблице, и проверяя прочность анкеров по бетону, учитывая увеличение расстояния от края (c_x). Далее приведены некоторые примеры возможных предельных конфигураций:

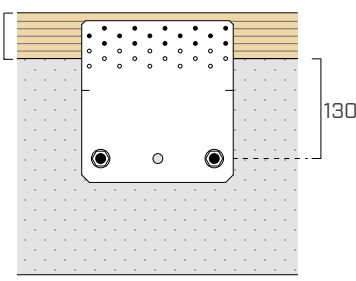
TCP200



частичный шов 15 элементов крепления - CLT

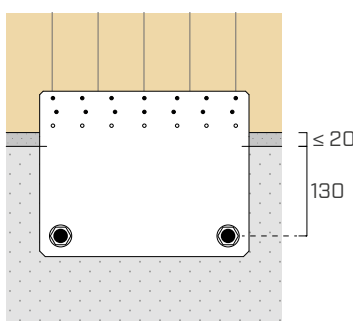


частичное 15 элементов крепления - C/GL

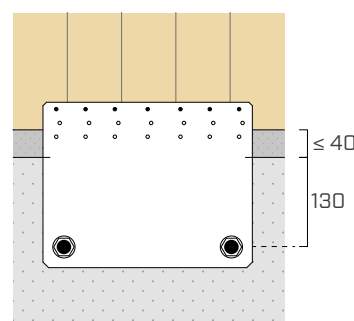


заниженная плата - C/GL

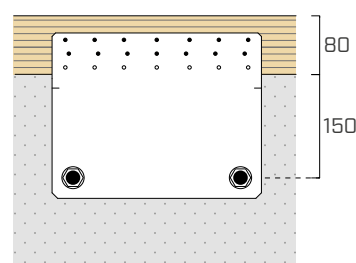
TCP300



частичный шов 14 элементов крепления - CLT

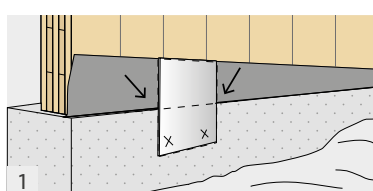


частичный шов 7 элементов крепления - CLT

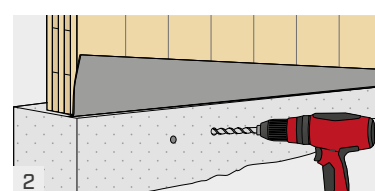


заниженная плата - C/GL

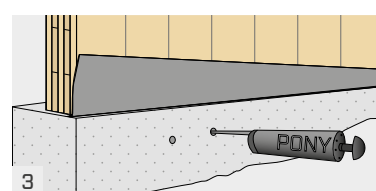
МОНТАЖ



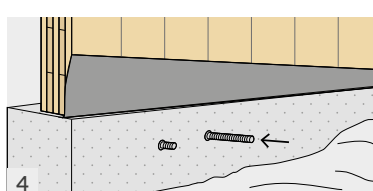
Установить TITAN TCP с пунктирной линией по поверхности раздела дерево-бетон и отметить место просверливания отверстий.



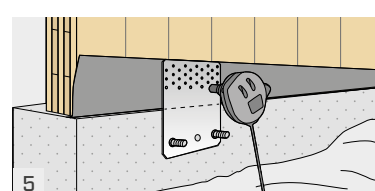
Удаление пластины TITAN TCP и просверливание отверстий в бетоне.



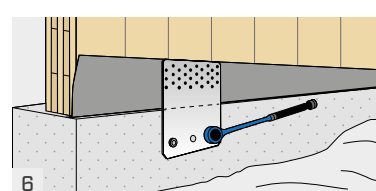
Тщательная зачистка отверстий.



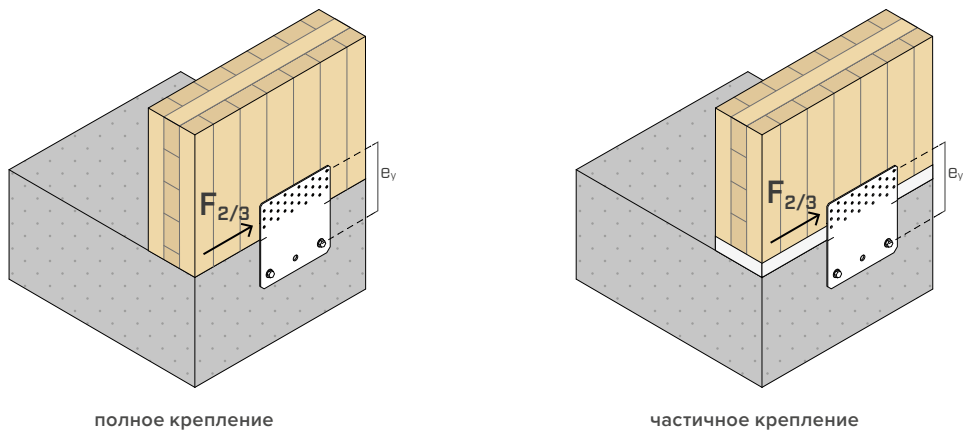
Установка анкера и резьбовых шпилек.



Установка пластины TITAN TCP и крепление гвоздями.



Установка гаек и шайб посредством соответствующего момента затяжки.



ПРОЧНОСТЬ ДРЕВЕСИНЫ

| | ДЕРЕВО | | | | СТАЛЬ | | БЕТОН | | | |
|------------------------|--------------------------|---------|----------------|--|---------------------------------------|--------------------------|---------------------------|--------------------|---|----------------|
| конфигурация по дереву | крепление в отверстия Ø5 | | | R _{2/3,k timber} ⁽¹⁾ | R _{2/3,k CLT} ⁽²⁾ | R _{2/3,k steel} | крепление в отверстия Ø13 | | | |
| | тип | Ø x L | n _V | [мм] | [шт.] | [кН] | [кН] | γ _{steel} | Ø | n _V |
| полное крепление | LBA | Ø4 x 60 | 30 | 62,9 | 84,9 | 21,8 | γ _{M2} | M12 | 2 | 147 |
| | LBS | Ø5 x 60 | 30 | 54,0 | 69,8 | | | | | |
| частичное крепление | LBA | Ø4 x 60 | 15 | 31,5 | 42,5 | 20,5 | γ _{M2} | 162 | | |
| | LBS | Ø5 x 60 | 15 | 27,0 | 34,9 | | | | | |

ПРОЧНОСТЬ БЕТОНА

Значения прочности по бетону некоторых из возможных решений крепления в соответствии с принятymi конфигурациями крепежа по дереву (e_y). Предполагается, что пластина установлена посредством монтажных углублений на границе раздела дерево-бетон (расстояние анкер-край бетона $c_y = 90$ мм).

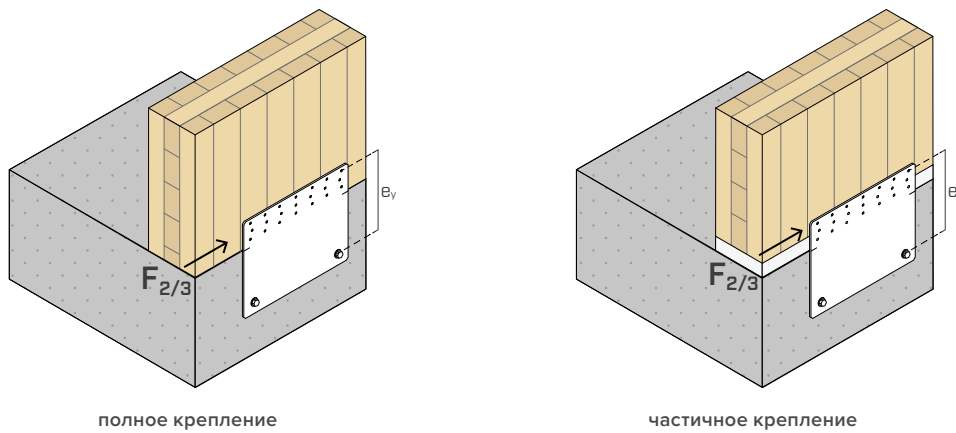
| | | полное крепление (e_y = 147 мм) | | частичное крепление (e_y = 162 мм) | |
|---------------------------|---------------------------|------------------------------------|------------------------------|---------------------------------------|------------------------------|
| конфигурация по бетону | крепление в отверстия Ø13 | | $R_{2/3,d \text{ concrete}}$ | | $R_{2/3,d \text{ concrete}}$ |
| | тип | $\emptyset \times L$ [мм] | [кН] | [кН] | |
| без трещин | VIN-FIX 5.8 | M12 x 140 | 12,6 | | 11,5 |
| | | M12 x 195 | 13,4 | | 12,2 |
| | SKR | 12 x 90 | 11,3 | | 10,3 |
| | AB1 | M12 x 100 | 13,1 | | 11,9 |
| | VIN-FIX 5.8 | M12 x 140 | 8,9 | | 8,1 |
| с трещинами | | M12 x 195 | 9,5 | | 8,7 |
| SKR | 12 x 90 | 8,0 | | 7,3 | |
| AB1 | M12 x 100 | 9,2 | | 8,4 | |
| HYB-FIX 8.8 | M12 x 140 | 6,6 | | 6,1 | |
| | сейсмическое | | M12 x 195 | 8,1 | |
| EPO-FIX 8.8 | M12 x 140 | 7,6 | | 6,9 | |

ПРИМЕЧАНИЕ

① Значения прочности для использования с маурерлатами из массива дерева или клееной древесины, рассчитанные с учетом фактического числа согласно Таблице 8.1 (EN 1995:2014).

⁽²⁾ Значения прочности для использования по СЛТ.

⁽³⁾ Расчетный эксцентрикитет для проверки анкеров по бетону.



ПРОЧНОСТЬ ДРЕВЕСИНЫ

| конфигурация по дереву | ДЕРЕВО | | | | | СТАЛЬ | | БЕТОН | | | | |
|---|--------|--------------------------|----------------------|--|---------------------------------------|--------------------------|--------------------|---------------------------|----------------------|-------------------------------|--|--|
| | тип | крепление в отверстия Ø5 | | R _{2/3,k timber} ⁽¹⁾ | R _{2/3,k CLT} ⁽²⁾ | R _{2/3,k steel} | γ _{steel} | крепление в отверстия Ø17 | | e _y ⁽³⁾ | | |
| | | Ø [мм] | n _v [шт.] | [кН] | [кН] | | | Ø [мм] | n _v [шт.] | | | |
| полное крепление | LBA | Ø4 x 60 | 21 | 43,4 | 59,4 | 64,0 | γ _{M2} | M16 | 2 | 180 | | |
| | LBS | Ø5 x 60 | 21 | 36,8 | 48,9 | | | | | | | |
| частичное крепление 14 крепежных элементов | LBA | Ø4 x 60 | 14 | 29,0 | 39,6 | 60,5 | γ _{M2} | | | 190 | | |
| | LBS | Ø5 x 60 | 14 | 24,6 | 32,6 | | | | | | | |
| частичное крепление 7 крепежных элементов | LBA | Ø4 x 60 | 7 | 14,5 | 19,8 | 57,6 | γ _{M2} | | | 200 | | |
| | LBS | Ø5 x 60 | 7 | 12,3 | 16,3 | | | | | | | |

ПРОЧНОСТЬ БЕТОНА

Значения прочности по бетону некоторых из возможных решений крепления в соответствии с принятыми конфигурациями крепежа по дереву (e_y). Предполагается, что пластина устанавливается посредством монтажных углублений на границе раздела дерево-бетон (расстояние анкер-край бетона $c_x = 130$ мм).

| конфигурация по бетону | полное крепление ($e_y = 180$ мм) | | | частичное крепление ($e_y = 190$ мм) | | частичное крепление ($e_y = 200$ мм) | |
|------------------------|------------------------------------|---------------------------|------|---------------------------------------|------|---------------------------------------|------|
| | тип | крепление в отверстия Ø17 | | R _{2/3,d concrete} | [кН] | R _{2/3,d concrete} | [кН] |
| | | Ø [мм] | [кН] | | | | |
| без трещин | VIN-FIX 5.8 | M16 x 195 | 29,6 | 28,3 | | 27,0 | |
| | SKR | 16 x 130 | 26,0 | 24,8 | | 23,7 | |
| | AB1 | M16 x 145 | 30,2 | 28,7 | | 27,3 | |
| с трещинами | VIN-FIX 5.8 | M16 x 195 | 21,0 | 20,0 | | 19,1 | |
| | SKR | 16 x 130 | 18,4 | 17,6 | | 16,8 | |
| | AB1 | M16 x 145 | 21,4 | 20,3 | | 19,3 | |
| сейсмическое | HYB-FIX 8.8 | M16 x 195 | 16,8 | 16,2 | | 15,6 | |
| | | M16 x 245 | 18,6 | 17,7 | | 16,9 | |
| | EPO-FIX 8.8 | M16 x 195 | 17,8 | 17,0 | | 16,9 | |

ОСНОВНЫЕ ПРИНЦИПЫ

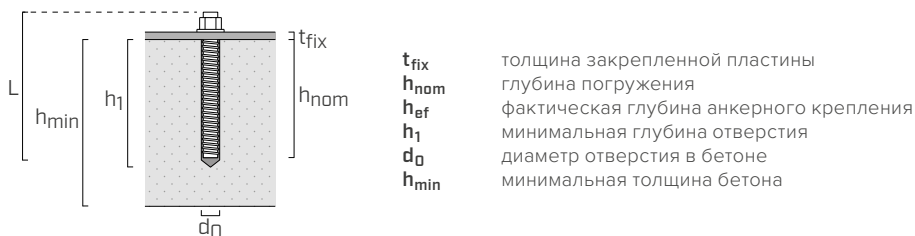
ОБЩИЕ ПРИНЦИПЫ расчета даны на стр. 306.

МОНТАЖНЫЕ ПАРАМЕТРЫ АНКЕРОВ

| установка | типа анкера | | t_{fix} | h_{ef} | h_{nom} | h_1 | d_0 | h_{min} |
|-----------|---|-----------------------------|-----------|----------|-----------|-------|-------|-----------|
| | типа | $\varnothing \times L$ [мм] | | | | | | |
| TCP200 | VIN-FIX 5.8 HYB-FIX 8.8 EPO-FIX 8.8 | M12 x 140 | 3 | 112 | 112 | 120 | 14 | 150 |
| | SKR | 12 x 90 | 3 | 64 | 87 | 110 | 10 | |
| | AB1 | M12 x 100 | 3 | 70 | 80 | 85 | 12 | |
| | VIN-FIX 5.8 HYB-FIX 8.8 | M12 x 195 | 3 | 170 | 170 | 175 | 14 | 200 |
| | | | | | | | | |
| TCP300 | VIN-FIX 5.8 HYB-FIX 8.8 EPO-FIX 8.8 | M16 x 195 | 4 | 164 | 164 | 170 | 18 | 200 |
| | SKR | 16 x 130 | 4 | 85 | 126 | 150 | 14 | |
| | AB1 | M16 x 145 | 4 | 85 | 97 | 105 | 16 | |
| | HYB-FIX 8.8 | M16 x 245 | 4 | 210 | 210 | 215 | 18 | 250 |

Резьбовая шпилька с преднадрезами INA в комплекте с гайкой и шпилькой: см. стр 562.

Резьбовая шпилька MGS класса 8.8 для резки в размер: см. стр 174.



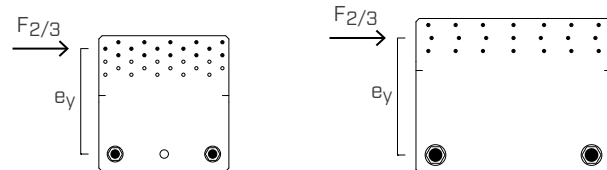
ПРОВЕРКА АНКЕРОВ ПО БЕТОНУ НА НАГРУЗКУ $F_{2/3}$

Крепление по бетону при помощи анкеров следует проверять исходя из действующих сил на сами анкеры, которые зависят от конфигурации крепления по бетону.

Положение и количество гвоздей/шурупов определяют величину эксцентриситета e_y , понимаемую как расстояние между центром тяжести гвоздевого шва или анкеров.

Анкеры следует проверить на:

$$\begin{aligned} V_{sd,x} &= F_{2/3,d} \\ M_{sd,z} &= F_{2/3,d} \cdot e_y \end{aligned}$$



ОСНОВНЫЕ ПРИНЦИПЫ

- Характеристические величины согласно стандарту EN 1995:2014.
- Расчетные значения получены на основании нормативных значений следующим образом:

$$R_d = \min \left\{ \frac{(R_{k,timber} \text{ or } R_{k,CLT}) \cdot k_{mod}}{\gamma_M}, \frac{R_{k,steel}}{\gamma_{M2}}, R_{d,concrete} \right\}$$

Коэффициенты k_{mod} , γ_M и γ_{M2} принимаются согласно действующим нормативным требованиям, используемым для расчета.

- При расчете учитывается объемная масса деревянных элементов, равный $\rho_k = 350 \text{ кг}/\text{м}^3$, а бетона C25/30 с редко уложенной арматурой и минимальной толщиной, указанной в соответствующей таблице.
- Определение размеров и контроль деревянных и железобетонных элементов должны производиться отдельно.
- Значения прочности действительны для расчетных данных, приведенных в таблице, для граничных условий, отличных от указанных в таблице (например, минимальное расстояние от краев), проверка анкеров по бетону может осуществляться посредством ПО MyProject исходя из требований проекта.

- Сейсмостойкое проектирование класса C2, без требований пластиичности к анкерам (вариант a2) проектирование гибких архитектурных форм согласно EN 1992:2018. Для химических анкеров предполагается, что кольцеобразное пространство между анкером и отверстием пластины заполнено ($a_{gap} = 1$).
- Ниже приводятся EТА продукта, относящиеся к анкерам, используемым при расчете бокового сопротивления бетона:
 - химический анкер VIN-FIX согласно EТА-20/0363;
 - химический анкер HYB-FIX согласно EТА-20/1285;
 - химический анкер EPO-FIX согласно EТА-23/0419;
 - ввинчивающийся анкер SKR согласно EТА-24/0024;
 - механический анкер AB1 согласно EТА-17/0481 (M12);
 - механический анкер AB1 согласно EТА-99/0010 (M16).

ИНТЕЛЛЕКТУАЛЬНАЯ СОБСТВЕННОСТЬ

- Пластины TITAN PLATE С защищены следующими регистрационными свидетельствами промышленных образцов Евросоюза:
 - RCD 002383265-0003;
 - RCD 008254353-0014.

ЭКСПЕРИМЕНТАЛЬНЫЕ ИССЛЕДОВАНИЯ | TCP300

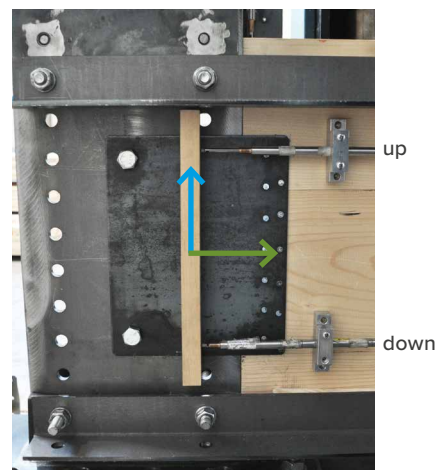
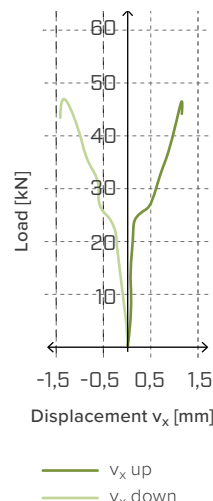
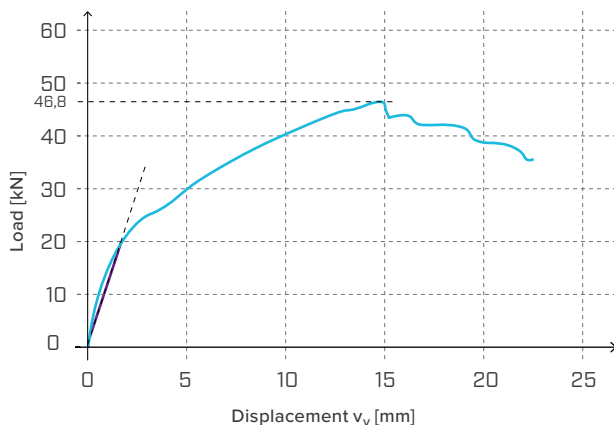
С целью калибровки числовых моделей, используемых при проектировании и проверке пластины TCP300, была проведена экспериментальная компания при содействии института Биоэкономики (IBE) - Сан-Микеле-Аль-Адидже.

Соединительная система, с использованием гвоздей или шурупов по панелям CLT, была подвергнута воздействию нагрузки на сдвиг посредством монотонных испытаний с целью контроля смещения с регистрацией нагрузки, смещения в двух основных направлениях и способов разрушения.

Полученные результаты были использованы для проверки аналитической расчетной модели для пластины TCP300, основанной на гипотезе о том, что центр сдвига расположен в центре тяжести креплений по дереву и, следовательно, что анкеры, являясь обычно слабым местом системы, подвергались не только нагрузке на сдвиг, но и локального момента.

Исследование в различных конфигурациях крепления (гвозди Ø4 / шурупы Ø5, полный гвоздевой шов, частичный гвоздевой шов с 14 соединительными элементами, частичный гвоздевой шов с 7 соединительными элементами) показывает, что механическое поведение пластины во многом зависит от относительной жесткости соединительных элементов по дереву в сравнении с анкерами в испытаниях, смоделированных с использованием болтов по стали.

Во всех случаях наблюдалось разрушение при сдвиге крепежа по дереву, которое не вызывает явного кручения пластины. Только в некоторых случаях (полный гвоздевой шов) незначительное скручивание пластины приводит к увеличению напряжений на креплениях в древесине, возникающих в результате перераспределения локального момента с последующим ослаблением напряжения на анкерах, которые представляют собой точку, ограничивающую общее сопротивление системы.



Диаграммы сила-смещение для образца TCP300 с частичным гвоздевым швом (14 гвоздей LVA Ø4 x 60 мм).

Дальнейшие исследования необходимы для того, чтобы иметь возможность определить аналитическую модель, которая может быть обобщена для различных конфигураций использования пластины, которая способна обеспечить фактическую жесткость системы и перераспределение напряжений при изменении граничных условий (соединительные элементы и основные материалы).